

ТЕХНІЧНА ДІАГНОСТИКА ТА НЕРУЙНІВНИЙ КОНТРОЛЬ

Техническая диагностика и неразрушающий контроль

№ 2
2022

Видається з 1989 року
Виходить 4 рази на рік
ISSN 0235-3474
Doi.org/10.37434/tdnk
Передплатний індекс 74475
Technical Diagnostics and Non-Destructive Testing

РЕДАКЦІЙНА КОЛЕГІЯ

Л.М. ЛОБАНОВ (головний редактор),
А.Я. Недосека (заст. гол. ред.),
В.О. Троїцький (заст. гол. ред.),
С.О. Давидов, С.А. Недосека,
Ю.М. Посипайко,

І.Ю. Романова (відповід. секретар)

Інститут електрозварювання ім. Є.О. Патона НАН України,
м. Київ

К. Драган

Технологічний інститут повітряних сил,
Варшава, Польща

Я. Грум

Люблінський університет, Словенія

М.Л. Казакевич

Інститут фізичної хімії ім. Л.В. Писаревського
НАН України, м. Київ

О.М. Карпаш, П.М. Райтер

Івано-Франківський нац. техн. університет нафти і газу
Л.І. Муравський, З.Т. Назарчук, В.Р. Скальський,
В.М. Учанин

Фізико-механічний інститут ім. Г.В. Карпенка НАН
України, м. Львів

А.Г. Протасов, С.К. Фомічов

НТУ України «КПІ імені Ігоря Сікорського», м. Київ
А. Савін

Національний інститут досліджень та розробок з
технічної фізики, Ясси, Румунія

В.О. Стороженко

Харківський національний університет радіоелектроніки
Г.М. Сучков

Національний університет «Харківський політехнічний інститут»
В.О. Стрижако

Інститут проблем міцності ім. Г.С. Писаренка
НАН України, м. Київ

М.Г. Чаусов

Національний університет біоресурсів і
природокористування України, м. Київ

Засновники

Національна академія наук України,

Інститут електрозварювання ім. Є.О. Патона НАНУ,
Міжнародна Асоціація «Зварювання» (видавець)

Адреса редакції

ІЕЗ ім. Є.О. Патона НАН України
03150, Україна, м. Київ,
вул. Казимира Малевича, 11

Тел./факс: +38 (044) 200-82-77

E-mail: journal@paton.kiev.ua

www.patonpublishinghouse.com/ukr/journals/tdnk

Свідоцтво про державну реєстрацію
КВ4787 від 09.01.2001

Журнал входить до переліку затверджених

Міністерством освіти і науки України видань
для публікації праць здобувачів наукових ступенів за
спеціальностями 132, 151, 152.

Наказ МОН України № 409 від 17.03.2020.

Передплата 2021

Передплатний індекс 74475.

4 випуски на рік (видається щоквартально).

Друкована версія: 960 грн. за річний комплект
з урахуванням доставки рекомендованою бандероллю.

Електронна версія: 960 грн. за річний комплект
(випуски журналу надсилаються електронною поштою
у форматі .pdf або для IP-адреси комп'ютера
передплатник надається доступ до архіву журналу).

За зміст рекламних матеріалів
редакція журналу відповідальністі не несе.

ЗМІСТ

НАУКОВО-ТЕХНІЧНИЙ РОЗДІЛ

ЛОБАНОВ Л.М., НЕДОСЕКА А.Я., НЕДОСЕКА С.А.,
ЯРЕМЕНКО М.А., ОВСІЄНКО М.А. Проблеми технічної
діагностики та підходи до їх вирішення 3

МІЛЕНІН О.С., ВЕЛИКОІВАНЕНКО О.А., РОЗИНКА Г.П.,
ПІВТОРАК Н.І. Особливості аналізу технічного стану та
підтримки надійності магістральних газопроводів при
транспортуванні газоводневих сумішей (Огляд) 11

СТОРОЖИК Д.В., ПРОТАСОВ А.Г., МУРАВЙОВ О.В.,
ПЕТРИК В.Ф., ПЕТРЕНКО Д.В. Автоматизація процесу
теплового неруйнівного контролю шляхом застосування
методу комплексування термограм 20

ВИРОБНИЧИЙ РОЗДІЛ

УЧАНІН В.М. Аналіз роботи двоконтурного автогенера-
торного вихрострумового дефектоскопа в режимі пере-
ривчастої генерації 24

ТРОЇЦЬКИЙ В.О., КАРМАНОВ М.Н., МИХАЙЛОВ С.Р.
Досягнення ІЕЗ ім. Є.О. Патона НАН України в галузі
рентгенотелевізійного, ультразвукового та інших методів
неруйнівного контролю (Огляд) 35

БОНДАРЕНКО Ю.К., ЛОГІНОВА Ю.В. Використання
статистичних методів для підтримки необхідної якості
зварювальної продукції (Огляд) 44

RUCKER R. Таємниці Туринської плащаниці 54

ІНФОРМАЦІЯ

Дати, події, факти з історії технічного контролю 65

Видання журналу підтримують:

Українське товариство неруйнівного контролю та технічної діагностики,
Технічний комітет стандартизації «Технічна діагностика та неруйнівний контроль» ТК-78,
Асоціація «ОКО»

EDITORIAL BOARD

L.M. Lobanov (Editor-in-Chief),
A.Ya. Nedoseka (Deputy Editor-in-Chief),
V.O. Troitskyi (Deputy Editor-in-Chief),
Ie.O. Davydov, S.A. Nedoseka,
Yu.M. Posypaiko,

I.Yu. Romanova (execut. secretary)

E.O. Paton Electric Welding Institute of NAS of Ukraine, Kyiv
Krzesztof Dragan
Air Force Institute of Technology, Warsaw, Poland

Janez Grum

University of Ljubljana, Slovenia
M.L. Kazakevich

L.V. Pisarzhevskii Institute of Physical Chemistry
of NAS of Ukraine, Kyiv

O.M. Karpash, P.M. Raiter

Ivano-Frankivsk National Technical University of Oil and Gas
L.I. Muravsky, Z.Th. Nazarchuk, V.R. Skalskyi, V.M. Uchanin
Karpenko Physico-Mechanical Institute of NAS
of Ukraine, Lviv

A.G. Protasov, S.K. Fomichev

National Technical University of Ukraine «Igor Sikorsky Kyiv
Polytechnic Institute»
Adriana Savin

National Institute of R & D for Technical Physics,
Iasi, Romania
V.O. Storozhenko

Kharkiv National University of Radio Electronics, Ukraine
H.M. Suchkov

National Technical University «Kharkiv Polytechnic Institute»,
Ukraine

V.O. Stryzhalo

G.S. Pisarenko Institute for Problems
of Strength of NAS of Ukraine, Kyiv
M.G. Chausov

National University of Life and Environmental Sciences
of Ukraine, Kyiv

Founders

National Academy of Sciences of Ukraine,
E.O. Paton Electric Welding Institute of NAS of Ukraine,
International Association «Welding» (Publisher)
Address

E.O. Paton Electric Welding Institute of NAS of Ukraine
03150, Ukraine, Kyiv, 11 Kazymyr Malevych Str.
Tel./Fax: +38 (044) 200-82-77
E-mail: journal@paton.kiev.ua
www.patonpublishinghouse.com/eng/journals/tdnk

The Journal is included in the list of publications approved
by the Ministry of Education and Science of Ukraine
for the publication of works of applicants for academic degrees
in specialties 132, 151, 152.

Order of the MES of Ukraine № 409 of 17.03.2020.

Certificate of state registration
of KB 4787 dated 09.01.2001

Subscription 2021
Subscription index 74475.

4 issues per year (issued quarterly), back issues available.

\$72, subscriptions for the printed (hard copy) version,
air postage and packaging included.

\$60, subscriptions for the electronic version
(sending issues of Journal in pdf format
or providing access to IP addresses).

The editorial board is not responsible
for the content of the promotional material.

CONTENT

SCIENTIFIC AND TECHNICAL

LOBANOV L.M., NEDOSEKA A.Ya., NEDOSEKA S.A., YAREMENKO M.A., OVSJENKO M.A. Problems of technical diagnostics and approaches to their solution 3

MILENIN O.S., VELIKOIVANENKO O.A., ROZYNKA G.P., PIVTORAK N.I. Features of analysis of the technical state and support of reliability of the main gas pipelines at transportation of gas-hydrogen mixtures (Review) 11

STOROZHIK D.V., PROTASOV A.G., MURAVIOV O.V., PETRIK V.F., PETRENKO D.V. Automation of thermal non-destructive testing process by applying the method of complexing thermographs 20

INDUSTRIAL

UCHANIN V.M. Analysis of operation of a dual-circuit auto-generator eddy current flaw detector in intermittent generation mode 24

TROITSKYI V.O., KARMANOV M.N., MIKHAILOV S.R. Achievements of the E.O. Paton Electric Welding Institute of the NAS of Ukraine in the field of X-Ray TV, ultrasonic and other nondestructive testing methods (Review) 35

BONDARENKO Yu.K., LOGINOV Yu.V. Use of statistical methods to support the required quality of welded products (Review) 44

RUCKER R. The mysteries of the Shroud of Turin 54

INFORMATION

Dates, events, facts in the history of technical non-destructive testing 65

JOURNAL PUBLICATION IS SUPPORTED BY:

Ukrainian Society for Non-Destructive Testing and Technical Diagnostic,
Technical Committee on standardization «Technical Diagnostics and Non-Destructive Testing» TC-78,
Association «OKO»

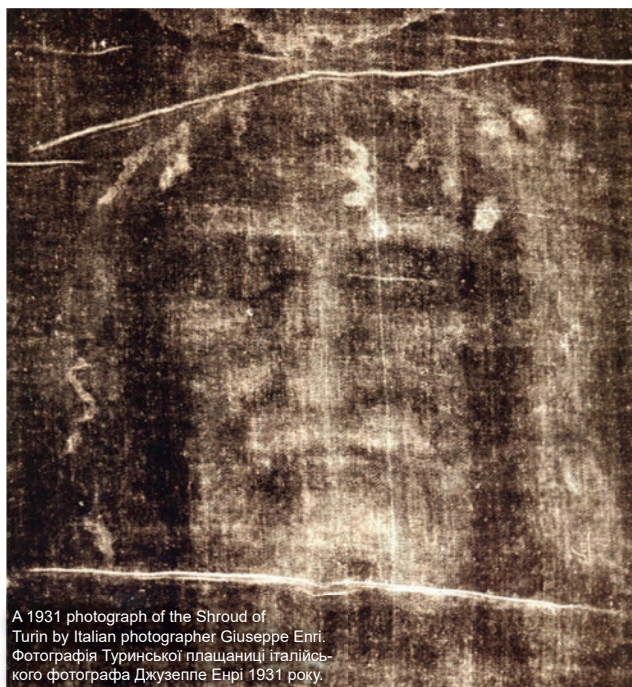
THE MYSTERIES OF THE SHROUD OF TURIN

ТАЄМНИЦІ ТУРИНСЬКОЇ ПЛАЩАНИЦІ

by Robert A. Rucker

In 1931, a professional photographer named Giuseppe Enri pointed his camera at a piece of cloth called the Shroud of Turin and took the picture shown on the right. How was this image formed? When was it made? Who made it? Is this an image of a real person? Could this be an image of the man known as Jesus Christ? Could this be the authentic burial cloth of Jesus? These are just a few of the questions that arise.

У 1931 р. професійний фотограф Джузеппе Енрі направив камеру на шматок тканини під назвою «Туринська плащаниця» і зробив знімок. Як формувався цей образ? Коли це було зроблено? Хто це зробив? Це образ реальної людини? Чи може це бути зображення людини, відомої як Ісус Христос? Чи може це бути справжня поховальна тканина Ісуса? Це лише деякі з питань.



Shroud of Turin is one of the most mysterious and potentially significant items in human possession. It has been featured on the cover of US News and World Report (1 March 2002) and Time magazine (20 April 1998). The June 1980 edition of National Geographic included a 24-page article with a four-page foldout of the Shroud. In the 1980s, the Shroud was briefly headline news around the world, but for reasons that will be discussed later in this article, the Shroud has received little media attention for the last three decades. That is now starting to change due to four recent papers on statistical analysis published in peer-reviewed journals.

This article provides an overview of the Shroud, including its images, history, materials, and previous testing. It also includes the author's hypothesis to explain the main mysteries of the Shroud, including image formation, carbon dating, and features of the blood on the Shroud. The purpose of this article is to encourage the development of a program for future testing of the Shroud. There are rumors the Shroud may go on exhibition in Turin, Italy, in 2025.

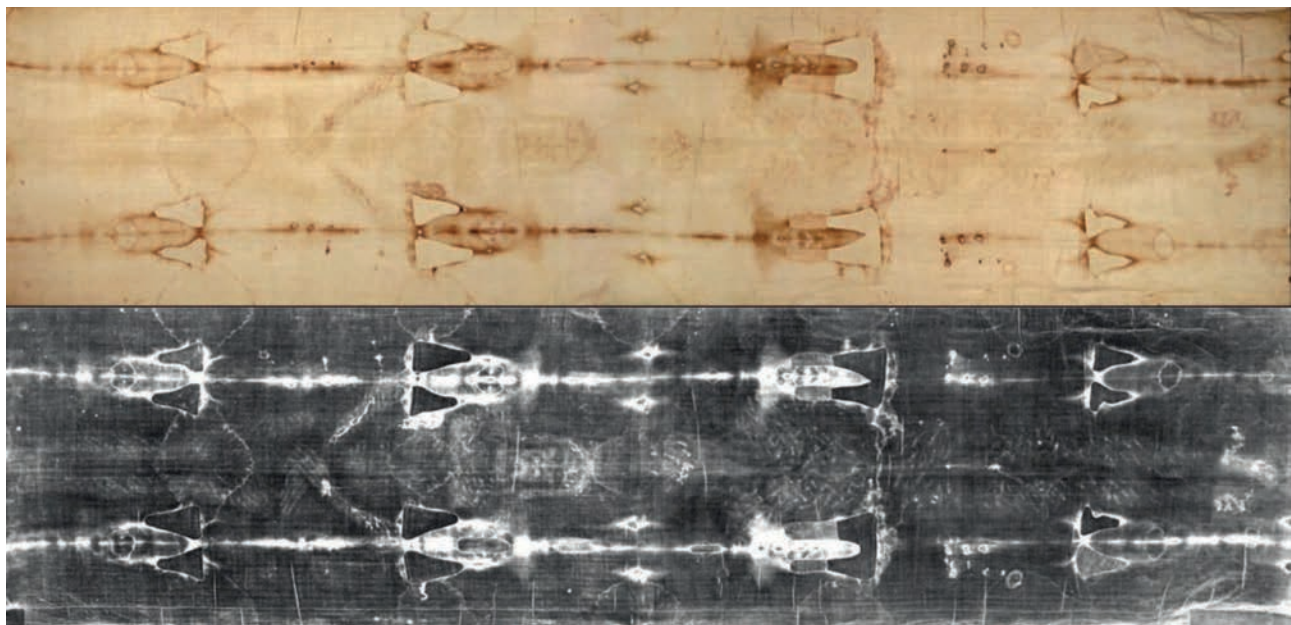


Figure 1. The Shroud of Turin, as seen (top; negative images) and the camera negative (bottom; positive images)
Рис. 1. Туринська плащаниця, натуральний вигляд (зверху, зображення у негативі) і зйомка камерою (знизу, зображення у позитиві)

To help obtain authorization for further scientific testing possibly following the exhibition in 2025, a comprehensive testing program should be developed for the Shroud to take advantage of advances in technology since the last extensive testing in 1978.

What Is the Shroud of Turin?

A shroud is a piece of cloth in which a person is buried. Turin, also called Torino, is a city in northwestern Italy. Thus, the Shroud of Turin refers to a particular burial cloth that has been in Turin, Italy, since 1578. The Shroud is a linen cloth about 14 ft 4 in. long by 3 ft 8 in. wide (437 x 111 cm). It is about as thick as a T-shirt (about 0.35 mm) and is very pliable. Many people regard this cloth to be a holy relic because ancient tradition has long claimed it to be the authentic burial cloth of Jesus Christ. This claim is supported by the full-size front and dorsal (back) images of a man who was crucified exactly as Jesus was crucified according to the Gospels in the New Testament, yet extensive testing in 1978 indicated these images are not due to pigment, scorch, liquid, or photography.

What Do the Images Show?

In Figure 1, the top image shows the Shroud as it would normally be seen. It shows two long scorch marks caused by a fire in 1532 when it was in Chambery, France. Also shown are water stains resulting from water thrown onto the box containing the Shroud after the fire and 16 patches used to repair one burned corner of the Shroud, as it was folded in the box. The images of the crucified man can be seen between the scorch marks. The front image is on the left with head, arms, torso, and legs visible. The back (or dorsal) image is on the right, with the head toward the left and the feet on the right.

The bottom image in Figure 1 is the photographic negative of the Shroud, but it shows the body as a positive image. This means the images on the Shroud are negative images, with light and dark areas reversed. It is important to note there are no images of the sides of the body or the top of the head, and the front and dorsal images are head-to-head.

Vertical views of the images are shown in Figure 2. The front image shows puncture wounds in the scalp as would occur from a cap (crown) of thorns. It shows a swollen cheek, bent nose, and a 2 in. (5 cm) elliptical wound in the side the size of a Roman thrusting spear, with blood running down from it separated into red and clear components. The clear components contain blood plasma and clear watery fluid from the pleural cavity. This indicates the side wound is a postmortem (after death) wound.

The front image shows a nail wound through the wrist, contrary to paintings in the Middle Ages depicting crucifixion, which had the nails going through the palm. We now know a nail through the

palm would not support sufficient weight because it would have no bones above it. The image does not show the thumbs, also contrary to paintings of the Middle Ages. When the nail was forced through the wrist at that location, it would have crushed the nerve that passes through that location. All the nerves from the fingers and the thumb connect into this nerve, so that crushing it would have forced the thumb to collapse into the palm. Thus, in both respects (location of the nail wound and no thumbs visible), the image indicates it was not made in the Middle Ages, contrary to the 1260-1390 AD carbon dating of the Shroud.

The front image also shows blood that ran down the arms from the wrist wounds, with two angles of the blood flow consistent with a man pushing up and down on the cross to breathe. About 120 scourge marks are visible as well as abrasions on the nose and one knee, suggesting the man had one or more falls. There is also a 3.2 in. (8.1 cm) wide side strip sewn onto the main Shroud using a unique professional stitch most similar to a stitch on a cloth from Masada, which was destroyed in 73-74 AD. This indicates the Shroud is probably from the first century.

The dorsal image in Figure 2 shows puncture wounds in the scalp and abrasions on the shoulders consistent with carrying a rough heavy object. Scourge marks are visible down the body consistent with two Roman flagra (scourge whip) containing dumbbell-shaped weights on the ends of three straps, along with a flow of blood and clear blood serum and clear watery fluid from the pleural cavity that drained from the side wound and ran across the small of the man's back. Also, two nails were evidently placed through one foot with only one of the nails

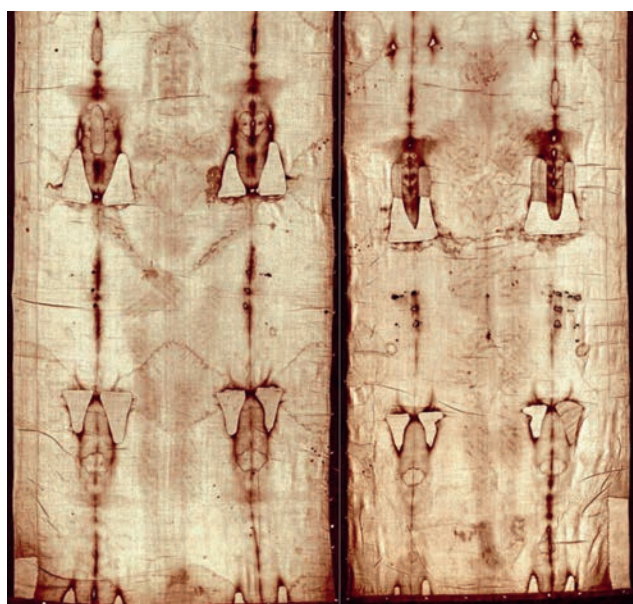


Figure 2. Front (left) and dorsal (right) images on the Shroud (shown as negative images).

Рис. 2. Зображення Плащаниці спереду (ліворуч) та ззаду (праворуч) (показано як зображення у негативі)

through the other foot. This would permit one foot to be rotated to allow the man to push up and down to breathe while crucified. The shape of the feet, being twisted together, indicates the presence of rigor mortis. This indicates the man was dead on the cross long enough for rigor mortis to set in.

There are several unusual or unique features to the images on the Shroud. The images are negative on the cloth with light and dark areas reversed. They have no outline or brush strokes, and they contain 3D information (Jackson et al. 1984), which allows a 3D statue to be reconstructed from the 2D Shroud. No painting or photograph contains 3D information. Also, the Shroud contains no products of body decay. The front and dorsal images are head-to-head because the cloth was wrapped up the back of the body, over the head, and then down the front of the body.



Figure 3. The Shroud has been housed in the Cathedral of St. John the Baptist in Turin, Italy, since 1694, and in the city of Turin since 1578.
Рис. 3. З 1694 р. Плащаниця зберігається в соборі Святого Івана Хрестителя в Турині (Італія), а у м. Турин – з 1578 р.

A closer view of the face is shown on the opening photo in a positive image. This image contains an exact front view with a long nose, mustache, beard, and hair parted in the middle coming down on both sides of the head, with the hair a little longer on one side than the other. This image appeared in paintings starting about 550 AD and was on coins starting about 692 AD. Thus, this image long predates the carbon dating of the Shroud (1260-1390 AD) and is the source of our concept of Jesus's appearance.

History of the Shroud

The Shroud was brought into Turin, Italy, in 1578 and has been kept in the Cathedral of St. John the Baptist in Turin since 1694. Figure 3 shows a photo of the cathedral taken in 1978 when the Shroud was on exhibition in the cathedral. The Shroud goes on exhibition only a few times a century and when it does, millions of people slowly file past it to see the front and back images of the crucified man.

Figure 4 shows the route most Shroud researchers believe the Shroud has taken. Based on evidence of

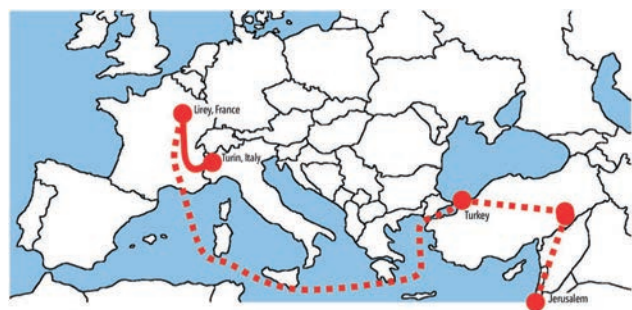


Figure 4. Historical movement of the Shroud.

Рис. 4. Історичне переміщення Плащаниці.

pollen from the Jerusalem area and chips of Jerusalem limestone on the Shroud, it is generally believed the Shroud started in Jerusalem but must have been evacuated before the city was destroyed in 70 AD. The Shroud may have been taken to Antioch on the coast along with other relics. It may have been used for evangelistic purposes in Galatia in central Turkey, according to Galatians 3:1. It was probably taken to Edessa (Urfra), Turkey, before being taken to Constantinople either in 574 AD as the «Image of God Incarnate» or in 944 AD as the «Image of Edessa» or Mandylion. The Shroud was in Constantinople at least up to 1204 AD when the fourth crusade sacked the city. Some believe it briefly went to Athens before being taken to Lirey, France, where it was exhibited as the burial cloth of Jesus in about 1355 or 1356.

Figure 4 shows a continuous line from Lirey, France, to Turin, Italy, because there is continual historical documentation for this route. Figure 4 shows a dashed line from Jerusalem to Lirey because the routes are not known. There are significant problems in knowing certain aspects of the Shroud's location prior to its presence in Lirey because it has only been called the Shroud of Turin since it came into Turin. Its previous names often create uncertainties in the historical records.

Materials of the Shroud

The Shroud is woven from linen thread made from the stems of the flax plant. Flax stems have a hollow space at the center surrounded by a woody body that is encircled by bundles of flax fibers. These flax fibers extend the length of the long stems. In making linen thread, these flax fibers are separated from the rest of the stem by allowing the stems to rot in water. This process is called retting. The diameter of these fibers is about 15 to 20 μm , which is about a fifth of the diameter of a human hair. A typical linen thread contains about 100 of these fibers.

Under a microscope, a flax fiber looks like bamboo with nodes along the length. This characteristic makes it easily distinguishable from other fibers such as cotton. The flax fibers are twisted or spun together to make linen thread. The thread used to make the Shroud was spun by hand rather than on a spinning wheel, indicating use of this older



Figure 5. Small of the back on the dorsal image (magnified 32x).
Рис. 5. Нижня частина Плащаниці, вид ззаду (збільшення 32х).

technology. This indicates the fabric was probably made earlier than about the 12th century.

Microscopic View of Threads in the Shroud

Figure 5 shows a photomicrograph of the Shroud at the small of the back on the dorsal image at a 32x magnification. This shows how the linen thread was woven together to make the 3-to-1 herringbone weave of the Shroud. This weave makes a stronger, more durable cloth but requires more time to produce so it is more expensive. It also shows a significant amount of blood at this location. This is evidently blood that ran down from the side wound shown on the front image.

Figure 6, at a magnification of 64x, is a closer view to help us understand how the images of the crucified man were formed on the Shroud. This photo shows the tip of the nose where the image is strongest. It should be noticed that this photo indicates no evidence of pigment, binder, clumping of the fibers or threads, or capillarity (soaking up of a liquid). The only thing we see is that in some areas the top one or two layers of fibers in a thread are slightly discolored with a straw-yellow or light tan color. All fiber discoloration has the same color, so the various shades in the images are due to the number of discolored fibers and the length of the discoloration in each fiber. This is what forms the images.

Previous Research on the Shroud

It is often said that the Shroud is the most researched artifact in human possession. Research on the Shroud can be divided into four periods. These four periods and their conclusions are summarized below.

- 1898 to 1977: The images were formed by a crucified man that was wrapped in the Shroud. This is indicated primarily by the nature of the blood on the Shroud.
- 1978 to 1987: Extensive experiments indicate the images are not due to paint, scorch, liquid,



Figure 6. Tip of the nose (magnified 64x).
Рис. 6. Зображення кінчика носа (збільшення 64х).

or photography. The methodology for image formation could not be determined.

- 1988 to 2016: The Shroud was carbon dated in 1988 to a range of 1260-1390 AD (two sigma). This allegedly proved the Shroud could not be authentic.
- 2017 to 2022: The 1988 measurement data was finally released for review in 2017. Statistical analysis of the data proved the samples were not homogeneous (that is, representative of the rest of the Shroud), indicating the certainty of the 1260-1390 AD date should be rejected because it may or may not be true.

Scientific testing of the Shroud began in 1898 when an Italian amateur photographer named Secondo Pia took the first photograph of the cloth. He would have expected his photographic plate to show a poor-resolution negative image of the face, but instead it contained a good-resolution positive image. This meant the image on the Shroud was a good-resolution negative image, with light and dark areas reversed. Therefore, the image could not be a painting because an artist prior to 1898, or 1578 or 1355, could not have painted a good-resolution image of what he had never seen (a negative image of a face). Research continued over the next eight decades by very qualified people in the United States and other countries. This list includes the following, along with their years of research on the Shroud:

- Dr. Yves Delage, Professor of Comparative Anatomy, Paris: 1900-1902
- Dr. Paul Vignon, Professor of Biology, Paris: 1900-1943
- Dr. Pierre Barbet, Professor of Anatomy, Paris: 1932-1961
- Dr. Robert Bucklin, MD, Forensic Examiner, LA: 1941-1993
- Dr. Frederick Zugibe, Chief Medical Examiner, NY: 1953-2002
- Dr. Alan D. Adler, Professor of Chemistry, Connecticut State University: 1978-2000

- Dr. John Heller, Professor of Medical Physics, Yale: 1978-1995
- Dr. John Jackson, Professor of Physics, Air Force Academy: 1978-2021
- Dr. Baima-Bollone, Chief of Forensic Medicine, Turin: 1978-2021

These individuals in general concluded that the dead body of a crucified man had been wrapped in the Shroud and in some unknown way had encoded front and dorsal images of itself onto the burial cloth in which he was wrapped. This belief was largely based on the pristine, unbroken appearance of the edges of the blood clots, with their indented centers and raised edges, and the clear blood serum extending beyond the blood clots due to capillarity.

The only opportunity for a comprehensive scientific examination of the Shroud occurred in 1978. The discovery in 1975 by John Jackson, professor of physics at the Air Force Academy, that the images contained 3D information led to the formation of the Shroud of Turin Research Project (STURP). In 1978, the Vatican allowed STURP, led by Jackson, to send 26 American scientists to Turin to perform nondestructive experiments on the Shroud for a total of 120 hours. They worked in three shifts over a period of five days (Heller 1984; Jumper 1982). The members of STURP made extensive preparations for testing and obtained donations of scientific equipment worth about US\$2.5 million. STURP's experiments on the Shroud included:

- light (up to 1000x) and electron microscopy
- photography, various wavelengths, front and back
- UV spectrophotometry of fluorescence
- X-ray fluorescence and absorption radiography
- thermal photography
- mass spectrography
- laser-microprobe Raman spectroscopy
- attempts to alter color on fibers using acids, bases, oxidants, reductants, and organic chemicals

Testing was also done for the presence of protein in the images, and multiple tests were done to determine whether what appeared to be blood was blood. The conclusion of these tests indicated the presence of blood on the Shroud. But the main objective of STURP was to determine how the images were formed. They concluded the images could not be the product of paint, dye, or stain because there was no pigment on the fibers, no evidence of a binder to hold pigment, no brush strokes, no clumping of fibers or threads, no stiffening of the cloth, and no cracking of the images along fold lines.

STURP also found no capillarity (soaking up of liquid) in the fibers or threads, so the images could not be due to a liquid such as an acid or an organic or inorganic chemical in a liquid form.

A scorch caused by a hot object will fluoresce (emit light in the visible range) when exposed to ultraviolet light. When the Shroud was exposed to an ultraviolet light, the scorches caused by the fire in 1532 did fluoresce, but the images did not fluoresce. This indicated the images were not formed by contact of a hot object with the cloth. The images on the Shroud could also not be the result of a photographic process because the images contain 3D information. Photographs and paintings do not contain 3D information.

STURP also concluded that only the top one or two layers of fibers were discolored out of about 100 fibers in a thread. This discoloration did not extend across the entire 15 to 20 pm diameter of the fibers but only discolored the fibers to a thickness of less than 0.2 μm, which is about 2% of the radius. In general, this thin discolored layer extends around the entire circumference of a fiber over much of the length of the discoloration.

STURP concluded this discoloration is not due to any substance or material (atoms) added to the fibers but rather is the result of a rearrangement of the atoms already in the fibers. The discoloration process can be described as a dehydration-oxidation process that formed the images of the crucified man. Specifically, the discoloration is due to some of the single electron bonds of the carbon atoms in the cellulose being changed to double electron bonds. This causes the molecule to vibrate differently; therefore, it reflects light differently, so it appears discolored.

What could cause the fiber to be discolored only on the outer 2% of the fiber's radius? Various concepts have been proposed to explain this and other individual features of the Shroud, but the hypothesis of an extremely brief, intense burst of radiation is attractive because it is the only concept that is consistent with the evidence and can explain the three main mysteries of the Shroud—namely, image formation, carbon dating, and features of the blood (Rucker 2020a).

Mystery #1: Formation of the Images

The first mystery to be considered is formation of the images on the Shroud (Fanti et al. 2005). Three things are needed to form the images: a mechanism to discolor the fibers, energy to drive the discoloration mechanism, and information to control the discoloration mechanism. This information is needed to control which fibers are discolored and the length of the discoloration on each fiber, because it is the discoloration on the fibers that forms the images of the crucified man.

It is difficult to determine how the images were formed, so the solution methodology will be similar to solving a maze. A maze is a type of puzzle that has

a start point at the entry into the maze and a finish point at the exit from the maze. The objective is to draw a line that goes through the maze from the start point to the finish point. In a difficult maze, it is often best to start from both the start and finish points and work toward the middle, where hopefully the two lines will meet. How the images were formed on the Shroud will be solved in a similar fashion by working from both the starting point (Why can we see the images?) and the ending point (What could have caused the fiber discoloration?) to determine if the two approaches can be part of a consistent solution.

Why can we see the images?

The key to answering this question is information. For example, why can we recognize a person in a photograph? It is because the information that defines the person's appearance (colors, shades, positions) has been encoded into the pattern of the pixels in the photo. The same is true for the Shroud. We can see the images of a crucified man on the Shroud because the information that defines the form of a crucified man has been encoded into the pattern of the discolored fibers on the cloth (Rucker 2016). The information that defines the form of a crucified man was only inherent to the body that was wrapped in the cloth. It was not inherent to the limestone of the tomb. Thus, this information had to be carried, transported, or communicated from the body and be deposited on the cloth.

However, this information is not the information that defines how we would see the body in reflected light. Instead, it is the information that specifies the vertical distance between the body and the cloth at each point. This is the 3D information that is encoded into the images (Jackson 1989; Jackson and Jumper 1976). Because this information is the vertical distance between the body and the cloth at each point, this information was most likely deposited on the cloth by something that traveled vertically from the body to the cloth and was altered as it traveled vertically across the air gap. Radiation is the only option that can satisfy these requirements. It can travel vertically from the body to the cloth because both particles and photons of light travel straight in the direction in which they are emitted. They can communicate the vertical gap distance by their intensity (number of particles or photons), with the intensity being diminished by absorption and scattering in the air, and possibly by decay for particles.

Many, if not most, Shroud researchers believe the images were formed by radiation. Only vertically collimated radiation emitted from the body can communicate to the Shroud the information that is encoded in the images and deliver this information in a focused manner (Rucker 2020b). This would be

necessary to produce the good-resolution front and dorsal images with the correct width of the face while not producing images of the sides of the body or the top of the head.

Vertically collimated radiation allows each point on the cloth to have received information from only one point on the body: the point vertically above or below it. This one-to-one correspondence is required to prevent the information from becoming confused, which would cause a significant loss of resolution in the images. If the radiation had been emitted uniformly in all directions, then innumerable lenses would have been required between the body and the cloth to focus the radiation on each fiber to form the good-resolution images. Since such lenses would not have been between the body and the cloth, the radiation must have been vertically collimated. The radiation being vertically collimated is also the best option to produce the realistic width of the face that is on the Shroud.

Other characteristics of the radiation can also be determined. Laser experiments indicate that to produce the extreme superficiality of the images (with only the top one or two layers of fibers in a thread discolored and only the very thin outer layer of the fibers discolored), the radiation must have been emitted in an extremely brief and intense burst of radiation (de Figueiredo 2015).

What could have caused the fiber discoloration?

It is the discoloration on the fibers that forms the images. Thus, how the fibers were discolored to a thickness of less than 0.2 pm must also be explained. One possibility is the molecular structure of the fibers could have been altered by a chemical attack from outside the fibers—for example, by ozone produced by an electrical discharge from the fibers. Another possibility is the molecular structure of the fibers could have been altered by heat deposited in this very thin 0.2 μm region. Due to electromagnetic effects, an alternating current in a conductor will flow primarily near the circumference of the conductor. If the frequency of an alternating current in a fiber is high enough, the electron flow and thus the heat deposition could be in the thin 0.2 μm outer region of the fiber. This could also be related to an electrical discharge between the body and the top fibers facing the body, with the electrical discharge rapidly alternating in direction, as occurs between a lightning rod and a thunder cloud in a lightning strike.

Since both ozone production and this heat deposition could have resulted from an electrical discharge from the top fibers facing the body, the radiation that caused it was probably primarily charged particles rather than electromagnetic radiation. These charged particles had to have low energy because the fibers on the Shroud do not show an increase in the number of ion tracks.

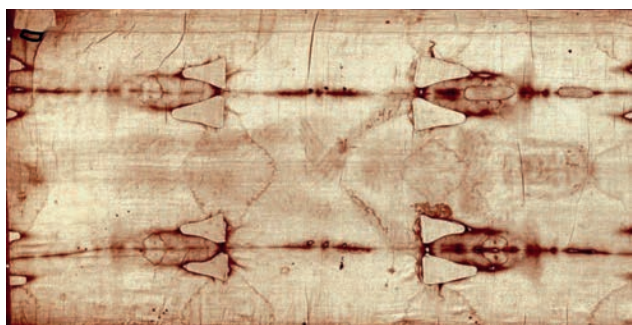


Figure 7. Location of samples for carbon-14 dating (designated by arrow in top left corner).

Рис. 7. Розташування зразків для датування по вуглецю-14 (позначено стрілкою у верхньому лівому куті)

Thus, it is hypothesized the images were formed by an extremely brief, intense burst of vertically collimated low-energy radiation (primarily charged particles) that transported energy and information from the body to the cloth. This energy and information were required to form the images. Radiation from the body can explain why the images are on the inside of the wrapped configuration, why the images are negative images, why there is 3D information in the images, why bones (teeth, hands, etc.) in the body can apparently be seen in the images, why threads that are discolored produced a shadow in the discoloration on the fibers below them, and so on. Rucker (2020b) lists 17 reasons for this radiation hypothesis and Rucker (2019) lists 21 reasons. It is hypothesized this radiation caused an electrical discharge from the top fibers facing the body (Rucker 2019), which produced heat and/or ozone that altered the molecular structure in the thin 0.2 μm circumferential region of the fiber. This could have led to the images slowly developing as the fibers were gradually discolored in the thin region, probably over a period of months to years as the atoms settled

into their lowest energy states. This gradual process is evidenced by experiments involving proton irradiation of linen (Lind 1989).

Mystery #2: Carbon Dating

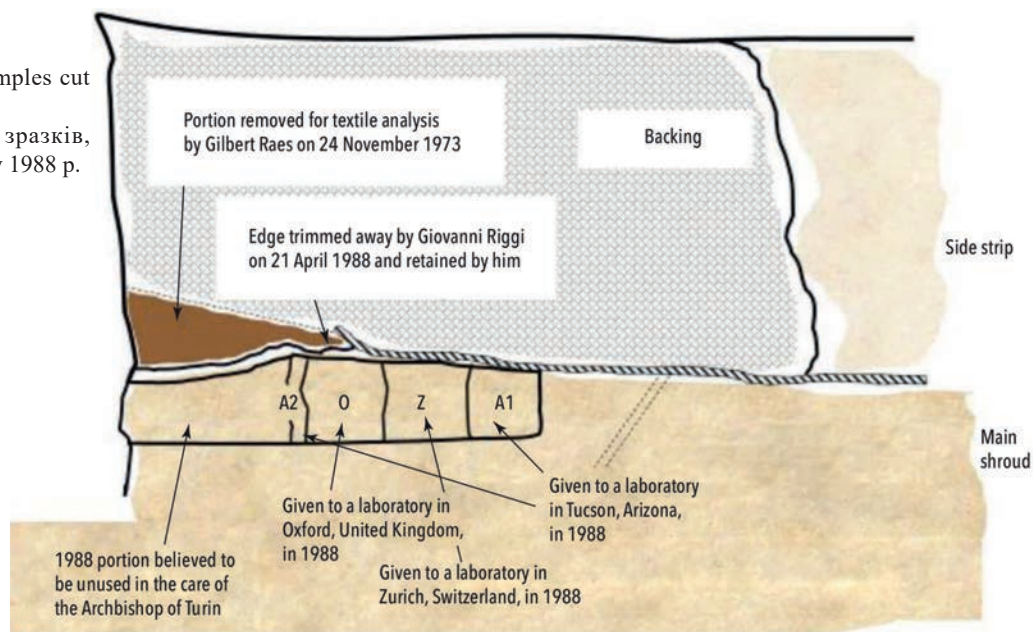
The second mystery is the carbon dating of the Shroud. It is helpful to first discuss how carbon dating is performed. The carbon dating process can be separated into three phases:

1. *The first phase* is to remove samples from the item to be dated. The item must contain carbon, such as a dead plant or animal. These samples will be consumed in the carbon dating process, so they are usually a very small fraction of the entire item. To produce a valid date for the entire item, the samples must be representative of the item. This is usually best achieved by taking the samples from a variety of locations throughout the item. As we will see, this was not done for the 1988 dating of the Shroud because all three of the samples were cut from one corner of the Shroud, next to each other.

2. *The second phase* is to measure the ratio of carbon-14 to carbon-12 (C-14/C-12) in each sample. In this process, each sample can be divided into subsamples, which each have their C-14/C-12 ratio measured, as was done in the 1988 dating of the Shroud. Each C-12 atom contains six neutrons and six protons in the central nucleus of the atom ($6 + 6 = 12$), with six electrons in orbits around the nucleus. Each C-14 atom contains eight neutrons and six protons in the nucleus of the atom ($8 + 6 = 14$), again with six electrons in orbits around the nucleus. The additional two neutrons in the nucleus of the C-14 atom cause it to be unstable so that it decays with a 5730-year half-life, which means that in each 5730-year period half of the C-14 will decay, and thus will no longer be present. The C-12 atoms do not decay (in other words, they are stable), so that the C-14/C-12 ratio will naturally decrease with a 5730-

Figure 8. Location of samples cut from the Shroud in 1988.

Рис. 8. Розташування зразків, вирізаних з Плащаниці у 1988 р.



year half-life. As will be explained, it is believed that the C-14/C-12 ratios for the Shroud subsamples were accurately measured, so that both these ratios and their uncertainties should be believed.

3. *The third phase* is to calculate the date of the item from the C-14/C-12 ratios, assuming the C-14/C-12 ratios have only changed due to the decay of C-14 since the plant or animal died. However, this assumption is not necessarily true due to carbon with a different C-14/C-12 ratio either being added or removed from the samples since the plant or animal died, or possibly due to neutron absorption having produced new C-14 in the samples. It is believed this last option is the best explanation for the 1988 carbon dating of the Shroud, as explained next.

In 1988, samples were cut from a corner of the Shroud and sent to three laboratories in Oxford, United Kingdom; Zurich, Switzerland; and Tucson, Arizona, for carbon dating (Figures 7 and 8). Results were published in 1989 in the journal Nature (Damon et al. 1989). The mean* of the three laboratory mean values was $1260 \text{ AD} \pm 31$ years (one sigma). This is called the uncorrected value. When corrected for the changing C-14 concentration in the atmosphere, a range of 1260 to 1390 AD (two sigma) was obtained. However, there are several reasons why most Shroud researchers believe the certainty of the 1260–1390 AD date should be rejected because it may or may not be true (Rucker 2020c). These include:

- The technology to make the images did not exist in 1260–1390. It does not exist even today. Every attempt to make the images today has failed macro and/or microscopically.
- There are 13 other date indicators that contradict the 1260–1390 date (Rucker 2020d).
- The measured carbon dates depend on the distance from the bottom of the Shroud (Figure 9). This means the samples were not representative (not homogeneous) of the rest of the Shroud. The non-homogeneity of the samples has been confirmed by four recent papers in peer-reviewed journals (Casabianca et al. 2019; di Lazzaro et al. 2020; Walsh and Schwalbe 2020, 2021), and is consistent with previous statistical analysis of the measurement data (Rucker 2018).
- The carbon dates from Oxford and Arizona are different by 104 ± 35 years, which is a three sigma difference ($104/35 = 2.97$). The usual acceptance criterion for no

statistically significant difference is two sigma, so this indicates the dates have a high probability of being different. This should not be the case since both samples came from the same piece of cloth. This indicates something strange is going on. Technically, this indicates the samples are evidently not homogeneous (not representative of the Shroud) due to the presence of a systematic error, which means the certainty of the carbon dates should be rejected.

- A chi-squared statistical analysis of the measurement data (values and uncertainties) indicates the distribution of the measured subsample dates has only a 1.4% chance of being explained by the stated uncertainties (significance level $p = 0.014$ in Table 6 of Rucker [2018] and Table 4 of Walsh and Schwalbe [2020]). This indicates a systematic error was likely present. If a systematic error was present, then the certainty of the uncorrected mean value of 1260 ± 31 should be rejected, so the corrected range of 1260–1390 should also be rejected.

When the three laboratories measured the C-14/C-12 ratios of the Shroud subsamples, they also measured the C-14/C-12 ratios of samples from three cloths of known historical dates (Damon et al. 1989). The carbon dates obtained for these three standards were in reasonable agreement with their historical dates, which indicates the C-14/C-12 ratios were being measured correctly. Thus, it should be assumed the C-14/C-12 ratios of the Shroud subsamples were measured correctly. But if the C-14/C-12 ratios were measured correctly, then the systematic error cannot be in the C-14/C-12 ratio measurements, so it must have been in the samples. This means that something must have altered the C-14/C-12 ratios in the samples to

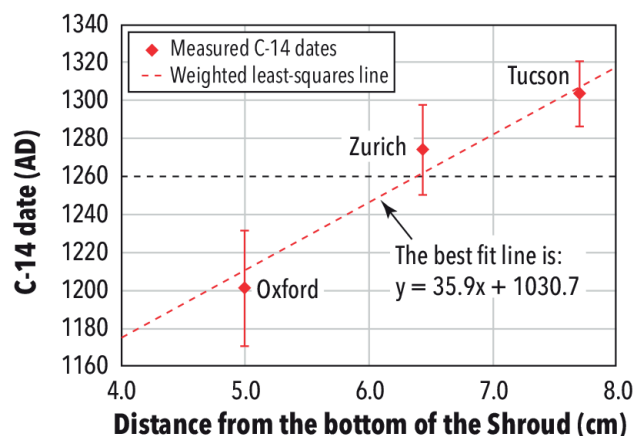


Figure 9. Measured dates as a function of sample location.

Рис. 9. Вимірюні дати як функція розташування зразка.

*In statistical analysis, the average value of a series of measurements is called the «mean». The uncertainty associated with this mean value can be illustrated by a Gaussian distribution, which is also called a bell curve. This curve plots the probability of how close the true value should be to the mean value, which is at the peak of the bell curve. The uncertainty of the mean value, and thus the width of the bell curve, is expressed in a calculated value known as the standard deviation. The symbol used for the standard deviation is the Greek letter sigma (σ), so that an uncertainty of one standard deviation is called a one sigma uncertainty. The mean value plus or minus one sigma (one standard deviation) should have about a 68% probability of having the true value within this range. The mean value plus or minus two sigma (two standard deviations) should have about a 95% probability of having the true value within this range. The mean value plus or minus three sigma (three standard deviations) should have about a 99% probability of having the true value within this range. However, these probability values depend on the number of measurements that were made to determine the values for the mean and standard deviation.

produce the systematic error. Some believe this occurred when newer cloth was invisibly interwoven into the older cloth of the Shroud (Marino and Benford 2000), but this hypothesis cannot explain all the evidence.

When the carbon dates and one sigma uncertainties obtained by the three laboratories are plotted as a function of distance from the bottom of the cloth (Oxford, Zurich, and Tucson, shown left to right in Figure 9), a sloped, red-dashed line through the three points is a better fit to the data than assuming all three samples had the same date of 1260 AD, which is the black-dashed line. The slope in the red line is about 36 years per centimeter, which is 91 years per inch. At this rate, if the sample point is moved by 10 in. (25 cm), then the carbon date would change by 910 years; that is, from the uncorrected carbon date of 1260 AD to a future date of 2170 AD. Thus, this slope in the carbon date could be very significant.

The hypothesis that is consistent with everything we know to be true about carbon dating as it relates to the Shroud is the neutron absorption hypothesis (Rucker 2020c). If the radiation emitted from the body that caused the images also included neutrons, then a small fraction of these neutrons would be absorbed in the trace amount of nitrogen in the cloth to produce new C-14 in the fibers (Lind et al. 2010) by the $N-14 + \text{neutron} \rightarrow C-14 + \text{proton}$ reaction. Tom Phillips, in 1989 in the journal Nature, was the first to document his hypothesis that neutron absorption could have altered the date obtained in the 1988 carbon dating of the Shroud.

This production of new C-14 would cause the carbon dating process to produce a more recent carbon date than the true date. For example, the carbon date would be shifted from 33 AD to the midpoint of the range 1260-1390 AD by an increase in the C-14 atom density in the samples of only 16.9%. Based on a series of nuclear analysis computer calculations (discussed next), this would occur if 2×10^{18} neutrons were emitted from the body, which is only one neutron for every ten billion neutrons in the body, based on an estimated body weight of 170 lb (77.1 kg). This would occur, for example, if only 0.0004% of the deuterium, or heavy hydrogen, atoms in the body were to fission. Deuterium is of special interest because it requires the least energy input to fission. This would release enough neutrons to shift the carbon date from 33 AD to 1260-1390 AD and approximately enough protons to produce the images, according to experiments of proton irradiation on linen (Lind 1989).

This neutron absorption hypothesis is the best concept to explain the carbon dating of the Shroud to 1260-1390 AD because it is the only hypothesis consistent with the four things we know to be true about carbon dating as it relates to the Shroud:

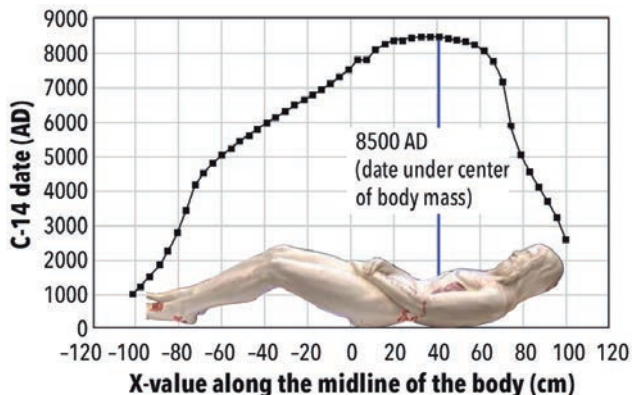


Figure 10. Carbon-14 dating on the Shroud below the body.

Рис. 10. Датування по вуглецю-14 на Плащаниці під тілом.

- The uncorrected carbon date at the 1988 sample location is 1260 ± 31 .
- The slope or gradient to the carbon dates is about 36 years per centimeter of distance from the bottom of the cloth.
- The carbon dates for the subsamples are in the range of 1155 to 1410 AD.
- The Sudarium of Oviedo is an 84 x 53 cm linen cloth that has been in the cathedral in Oviedo Spain since 1113 AD. It contains no image but does contain blood stains similar to the Shroud of Turin. Ancient tradition claims the Sudarium is Jesus's face cloth mentioned in John 20:7 and thus is connected to the Shroud of Turin. Historical documents state it left Palestine prior to 614 AD. It was carbon dated to about 670 AD.

Using this hypothesis of neutrons homogeneously emitted from the body as it lay in a limestone tomb, a long series of MCNP nuclear analysis computer calculations were run. MCNP is an acronym for Monte Carlo N-Particle, where «N» stands for neutron. MCNP was developed at the Los Alamos National Laboratory over many decades and is approved by the US Nuclear Regulatory Commission (NRC) for nuclear analysis for a variety of purposes. It has been confirmed by comparison of thousands of nuclear experiments with MCNP calculations.

Figure 10 shows some of the results of these MCNP calculations. The vertical axis on this figure shows the carbon date calculated by MCNP for a location along the midline (backbone) of the body on the cloth under the body (on the dorsal image). The calculated carbon dates are quite variable, with about 90% of the locations dating to the future when the standard equations are used to calculate the date. A carbon date to the future is calculated when there is a higher C-14/C-12 ratio in a sample than is present in our environment.

The second point from the left in Figure 10 is approximately where the samples were cut from the Shroud in 1988 for carbon dating. The MCNP-calculated slope at this point agrees with the experimental slope, about 36 years per centimeter in

Figure 9, obtained from carbon dating measurements at the three laboratories. The results of the MCNP calculations appear to have also received independent confirmation from the position dependence of the fluorescence on the Shroud (McAvoy 2021) based on photos taken by STURP in 1978.

Mystery #3: Blood

The third mystery is related to the blood. About a dozen tests have been performed on the blood. The results of these tests proved that what appears to be blood is blood. All results are also consistent with it being human blood, though further testing is needed to exclude other possible options. Blood could have drained from the body onto the cloth where there were wounds in the scalp, wrists, side, and feet. However, the problem is explaining how the blood—which would have dried on the skin—could have transferred to the cloth. Examples are the blood that drained from the wrist wounds and ran down the arms, and the blood from the scourging.

Since dried blood does not absorb into cloth, why is the blood that would have dried on the body now on the cloth? The hypothesis of an extremely brief intense burst of radiation emitted in the body offers a possible explanation. If the radiation burst was sufficiently brief and sufficiently intense, it would thrust wet or dried blood off the body onto the cloth by a natural process called radiation pressure. This is a process by which radiation transfers momentum to an object, which causes it to move. But the radiation would have to be particle radiation. Examples of particle radiation include neutrons, protons, and electrons. Electromagnetic radiation such as ultraviolet light would vaporize the blood before it caused the blood to move significantly.

Future Testing of the Shroud

The last extensive testing of the Shroud was performed in 1978 after the Shroud was put on exhibition in Turin. There are rumors of another exhibition in 2025, and it is hoped the Vatican will allow additional testing following the exhibition.

To encourage a decision to allow such testing, a carefully planned program for the future testing of the Shroud should be

developed for the Vatican to consider. The Shroud was owned by the Savoy family in Italy starting about 1453, but in 1983 the Shroud was willed to the reigning pope, so the Pope will make the final decision.

This testing program should take advantage of the significant advances in nondestructive testing technology since the last extensive testing in 1978. The following are some of the questions that should guide future testing of the Shroud:

Image Formation

- nature and location of discoloration
- evidence of bones, backside image, or coins over the eyes

- cause of banding and mottling
- distribution of fluorescence on the Shroud
- other evidence of radiation on the Shroud

Dating

- carbon dates for other locations
- evidence of other long-lived isotopes produced by neutron absorption, such as Cl-36 and Ca-41, on the Shroud or in the tomb
- evidence of an invisible reweave at the 1988 sample location
- other dating methods: reflectance, tensile strength, and so on

Blood

- location, shape, composition, serum rings
- Is blood human, male, type AB?
- DNA genome? What race?
- Why is it reddish? Is neutron absorption a possible explanation?
- Has the blood been retouched with paint?

History

- pollen
- limestone chips, dust, debris
- side piece and stitch

The following techniques have been suggested for future testing of the Shroud:

light and electron microscopy

- multispectral and hyperspectral imaging
- X-ray fluorescence
- Fourier transform infrared spectroscopy
- Raman and energy dispersive spectroscopy
- atom probe tomography
- nuclear activation analysis
- radiation detection methods

Discussion

A hypothesis has been discussed as a possible explanation for three of the most significant mysteries of the Shroud. This hypothesis proposes that an extremely brief intense burst of radiation from the body produced heating and/or ozone that discolored the fibers to form the images of a crucified man. This burst of radiation included neutrons that produced new carbon-14 in the fibers, which shifted the carbon date forward from the time of Jesus, about 33 AD, to 1260-1390 AD. If it was brief enough and intense enough, the radiation burst could have thrust the dried blood off the body onto the cloth by a natural process called radiation pressure.

The most important questions regarding the Shroud of Turin are whether it could be the authentic burial cloth of Jesus Christ and whether the images could have been encoded onto the cloth by a burst of radiation emitted from his dead body. If the evidence indicates these questions should be answered in the affirmative, then the implications for all humanity could be extremely significant. The importance of these questions should compel us to do our very

best scientific research on the Shroud, and to take advantage of every opportunity to do this research.

There is no known example of a human body, dead or alive, producing an image of itself on a piece of cloth, except for the Shroud of Turin. In our current understanding of physics, there is no mechanism or process that can do this. Yet, in the Shroud, there is evidence that a dead human body produced front and dorsal images of itself on linen cloth. From the perspective of science, this unique encoding event appears to require a unique process or mechanism that is outside or beyond our current understanding of physics. Thus, to help humanity gain a more complete and accurate understanding of reality, further scientific testing should be performed on this unique historical artifact. There is a possibility for significant scientific research to be performed on the Shroud following the rumored exhibition of the Shroud in 2025. Every effort should be made to prepare a testing program to take advantage of this possibility.

ACKNOWLEDGMENTS

This article was reviewed for accuracy by Arthur C. Lind, PhD (physics) and Mark Antonacci, JD. Figures 1 and 3 are reproduced courtesy of the Barrie M. Schwortz Collection, STERA Inc., and Figures 5 and 6 are reproduced courtesy of the Mark Evans Collection, STERA Inc.

AUTHOR

Robert (Bob) A. Rucker: MS, Nuclear Engineering, University of Michigan; robertarucker@yahoo.com

CITATION

Materials Evaluation 80 (2): 24-36

<https://doi.org/10.32548/2022.me-02022>

©2022 American Society for Nondestructive Testing

REFERENCES

1. Casabianca, T., E. Marinelli, G. Pernagallo, and B. Torrisi, 2019, « Radiocarbon Dating of the Turin Shroud: New Evidence from Raw Data», *Archaeometry*, Vol. 61, No. 5, pp. 1223-1231, <https://doi.org/10.1111/arcm.12467>
2. Damon, P.E., D.J. Donahue, B.H. Gore, A.L. Hatheway, A.J.T. Jull, T.W. Linick, P.J. Sercel, L.J. Toolin, C.R. Bronk, E.T. Hall, R.E.M. Hedges, R. Housley, I.A. Law, C. Perry, G. Bonani, S. Trumbore, W. Woelfli, J.C. Ambers, S.G.E. Bowman, M.N. Leese, and M.S. Tite, 1989, «Radiocarbon Dating of the Shroud of Turin», *Nature*, Vol. 337, pp. 611-615 de Figueiredo, L.C., 2015, «Dr. Paolo Di Lazzaro Explains His Research on Image Formation on the Shroud of Turin,” available at https://www.academia.edu/11355553/Dr_Paolo_Di_Lazzaro_explains_his_research_on_imageFormation_on_the_Shroud_of_Turin
3. Di Lazzaro, P., A.C. Atkinson, P. Iacomussi, M. Riani, M. Ricci, and P. Wadhams, 2020, «Statistical and Proactive Analysis of an Inter-Laboratory Comparison: The Radiocarbon Dating of the Shroud of Turin», *Entropy*, Vol. 22, No. 9, p. 926, <https://doi.org/10.3390/e22090926>
4. Fanti, G., F. Lattarulo, and O. Scheuermann, 2005, «Evidences for Testing Hypotheses About the Body Image Formation of

the Turin Shroud», *The Third Dallas International Conference on the Shroud of Turin, 8-11 September, Dallas, TX*

5. Heller, J., 1984, *Report of the Shroud of Turin*, Houghton Mifflin Co.
6. Jackson, J., 1989, «The Vertical Alignment of the Frontal Image», available at <https://www.shroud.com/pdfs/ssi3233part3.pdf>
7. Jackson, J.P., and E.J. Jumper, 1976, «The Three Dimensional Image on Jesus' Burial Cloth as Revealed by Computer Transformation», personal correspondence dated 30 July, to Peter M. Rinaldi, author of many books on the Shroud. Contact robertarucker@yahoo.com to obtain a copy.
8. Jackson, J.P., E.J. Jumper, and W.R. Ercoline, 1984, «Correlation of Image Intensity on the Turin Shroud with the 3-D Structure of a Human Body Shape», *Applied Optics*, Vol. 23, pp. 2244-2270
9. Jumper, E.J., 1982, «An Overview of the Testing Performed by the Shroud of Turin Research Project with a Summary of Results», *IEEE Proceedings of the International Conference on Cybernetics and Society*
10. Lind, A.C., 1989, «Image Formation by Protons», available at <https://www.testtheshroud.org/articles>
11. Lind, A.C., M. Antonacci, G. Fanti, D. Elmore, and J.M. Guthrie, 2010, «Production of Radiocarbon by Neutron Radiation on Linen», available at <https://www.semanticscholar.org/paper/Production-of-Radiocarbon-by-Neutron-Radiation-on-Lind-Antonacci/61ec4a8c6ed72fec1cde5cf-124368dc0bf089344>
12. Marino, J.G., and M.S. Benford, 2000, «Evidence for the Skewing of the C-14 Dating of the Shroud of Turin Due to Repairs», available at <https://shroud.com/pdfs/marben.pdf>
13. McAvoy, T., 2021, «On Radiocarbon Dating of the Shroud of Turin», *International Journal of Archeology*, Vol. 9, No. 2, pp. 34-44, <https://doi.org/10.11648/j.ija.20210902.11>
14. Rucker, R.A., 2016, «Information Content on the Shroud of Turin», Paper 5, available at www.shroudresearch.net/research.html
15. Rucker, R.A., 2018, «The Carbon Dating Problem for the Shroud of Turin, Part 2: Statistical Analysis», Paper 12, available at www.shroudresearch.net/research.html
16. Rucker, R.A., 2019, «How the Image Was Formed on the Shroud», Paper 27, available at www.shroudresearch.net/research.html
17. Rucker, R.A., 2020a, «Holistic Solution to the Mysteries of the Shroud of Turin», Paper 24, available at www.shroudresearch.net/research.html
18. Rucker, R.A., 2020b, «Role of Radiation in Image Formation on the Shroud of Turin», Paper 6, available at www.shroudresearch.net/research.html
19. Rucker, R.A., 2020c, «Understanding the 1988 Carbon Dating of the Shroud», Paper 25, available at www.shroudresearch.net/research.html
20. Rucker, R.A., 2020d, «Date of the Shroud of Turin», Paper 29, available at www.shroudresearch.net/research.html
21. Walsh, B., and L. Schwalbe, 2020, «An Instructive Inter-Laboratory Comparison: The 1988 Radiocarbon Dating of the Shroud of Turin», *Journal of Archaeological Science: Reports*, Vol. 29, <https://doi.org/10.1016/j.jasrep.2019.102015>
22. Walsh, B., and L. Schwalbe, 2021, «On Cleaning Methods and the Raw Radiocarbon Data from the Shroud of Turin», *International Journal of Archeology*, Vol. 9, No. 1, pp. 10-16, <https://doi.org/10.11648/j.ija.20210901.12>

Premission to Reprint 18.05.2022:
The American Society for Nondestructive Testing, Inc.

CITATION

Materials Evaluation 80 (2): 24-36

<https://doi.org/10.32548/2022.me-02022>

©2022 American Society for Nondestructive Testing

Погляд в історію науки і техніки

/рубрику веде Ю.М. Посипайко/

ДАТИ, ПОДІЇ, ФАКТИ З ІСТОРІЇ ТЕХНІЧНОГО КОНТРОЛЮ

(календар II кв.)

1 квітня 1976 р. засновано американську технологічну компанію Apple з офісом у Купертино (Каліфорнія), яка проектує та розробляє комп'ютери, програмне забезпечення, онлайн-сервіси та побутову електроніку. Apple була заснована Стівом Джобсом, Стівом Возняком та Рональдом Вейном. Apple – це найбільша у світі компанія в області інформаційних технологій. 30.06.2021 р. Apple офіційно відкрила офіс в Україні, у компанії також з'явилася підтримка українською мовою. Apple планує самостійно ввозити техніку в Україну та контролювати магазини офіційних дилерів. Програмне забезпечення Apple працює в сучасних комплексах діагностики та неруйнівного контролю



4 квітня 1975 р. Білл Гейтс та Пол Аллен заснували компанію Microsoft Corporation – найбільшу в світі компанію-виробник програмного забезпечення. Головний офіс розташований у корпоративному кампусі в Редмонді (Вашингтон, США). Це багатонаціональна корпорація комп'ютерних технологій із 124 тис. працівників у 102 країнах. Найпопулярнішими продуктами корпорації є операційні системи Microsoft Windows та офісний пакет Microsoft Office. Компанія також продає апаратне забезпечення та розважальні продукти Xbox та MSN TV. Після буму на ринку персональних комп'ютерів «Ай-Бі-Ем» (IBM PC) в середині 80-х років минулого століття Microsoft випустила операційну систему MS-DOS, стала одним із лідерів ринку програмного забезпечення



7 квітня 1795 р. у Франції прийняли закон, що вводив метричну систему мір. Так, метр визначався як одна десятимільйонна частка відстані від полюса до екватора. Метрична система вимірювання заснована на метрі як мірі довжини та кілограмі як мірі маси. Зокрема метричною є Міжнародна система одиниць SI. У наш час більшість країн світу перейшли на метричну систему одиниць вимірювання. Винятком залишаються США, М'янма та Ліберія. У Великій Британії метрична система використовується поряд із імперськими одиницями. Основна відмінність метричної системи від традиційних систем, які застосовувалися раніше, полягає у використанні упорядкованого набору одиниць вимірювань



10 квітня 1861 р. засновано Массачусетський технологічний інститут (MIT) — один із найкращих у США та загалом у світі технічний університет. Заснований Вільямом Бартоном Роджерсом університет у м. Кембридж, штату Массачусетс, США, головним своїм завданням вважає навчання та дослідження практичного застосування науки та технологій. MIT складається з кількох школ і має в собі також 34 академічні департаменти та 53 міждисциплінарні лабораторії, центри та програми. MIT відіграв ключову роль у розвитку комп'ютерів, систем інерціальної навігації та ін. Інститут публікує свої курси у відкритому доступі. Це стало прикладом для наслідування іншими навчальними закладами. У 2012–2020 рр. у світовому рейтингу університетів MIT займав I місце



10 квітня 1954 р. у Дніпропетровську створене Особливе конструкторське бюро (ОКБ-586), нині – Конструкторське бюро «Південне» ім. М.К. Янгеля, головне підприємство космічної галузі України. Конструкторське бюро було створено на базі конструкторського відділу Південного машинобудівного заводу з метою побудови для Збройних Сил СРСР стратегічних ракетних комплексів з балістичними ракетами на висококиплячих компонентах ракетного палива. КБ діяло на чолі кооперації з організацій-розроблювачів ракетних систем і елементів ракетних комплексів. Головним підприємством-виробником створених КБ «Південне» ракет став Південний машинобудівний завод. З 1970-х рр. у КБ працює численний відділ неруйнівного контролю ракетної техніки



11 квітня 1913 р. у Києві народився Володимир Гнатович Хоткевич (помер у 1982 р.) – український вчений-фізик, фахівець в області фізики низьких температур, ректор Харківського державного університету (1966–1975 рр.), член-кореспондент АН УРСР з 1967 р. Він опублікував понад 200 робіт з фізики металів, проблем надпровідності, низькотемпературної металофізики, теплової діагностики тощо. З 1975 р. завідував кафедрою експериментальної фізики ХДУ, а з 1979 р. – кафедрою фізики низьких температур ХДУ



Редакція журналу буде вдячна читачам за доповнення до дат, подій та фактів з НК



12 квітня 1981 р. з космодому на мисі Канаверал у США здійснено запуск першого пілотованого багаторазового транспортного космічного корабля NASA «Колумбія». Будівництво «Колумбії» розпочато в 1975 р. і 25.03.1979 р. «Колумбію» було передано на випробування в NASA. Шаттл названо іменем вітрильника, на якому капітан Роберт Грей у травні 1792 р. досліджував внутрішні води Британської Колумбії (нині штати США Вашингтон і Орегон). Командиром екіпажу був ветеран американської космонавтики Джон Янг, пілотом – Роберт Кріппо. Політ був (і залишається) унікальним: фактично найперший випробувальний запуск космічного корабля, який проводився з екіпажем на борту. На превеликий жаль у 2003 р. під час свого останнього польоту шатл згорів при вході в земну атмосферу



14 квітня 2022 р. уражений українськими ракетами Р-360 «Нептун», затонув флагман ЧФ ВМФ Росії ракетний крейсер «Москва». Р-360 «Нептун» – українська протикорабельна крилата ракета, розроблена в київському конструкторському бюро «Луч» у 2010–2020 рр. З 2020 р. береговий комплекс РК-360МЦ «Нептун» прийнятий на озброєння Збройних сил України. Ракета має бойову частину масою 150 кг, дальність її дії до 280 км. Під час виробництва ракет застосовувались радіаційний та вихрострумовий методи неруйнівного контролю, а також контроль герметичності паливних баків мас-спектрометричним методом



17 квітня 1931 р. у м. Жовква біля Львова народився Любомир Романків – провідний науковець компанії IBM у галузі комп’ютерних технологій, співвинахідник (разом із Девідом Томпсоном) процесів створення тонкоплівкових індуктивних і магніторезистивних мікроголовок для запису інформації, що сприяло появі жорстких дисків і персональних комп’ютерів, автор і співавтор понад 65 патентів. Сім’я Романківа виїхала до Європи в 1944 р. Освіту він здобув в Університеті Альберти та Массачусетському технологічному інституті (доктор філософії в галузі металургії та матеріалознавства, 1962 р.). Автор понад 150 статей, відредагував 10 томів матеріалів різних технічних симпозіумів. Директор відділу електрохімічної технології й магнетизму Дослідного центру IBM



21 квітня 1958 р. під час проведення Брюссельської всесвітньої виставки було на-голошено про створення електрошлакового зварювання (ЕШЗ). Метод ЕШЗ був розроблений співробітниками Інституту електрозварювання ім. Е. О. Патона на початку 1950-х рр. ЕШЗ є одним з різновидів зварювання плавленням. Він заснований на виділенні тепла при проходженні електричного струму через рідкий шлак, за рахунок чого розплавляються кромки зварювальних деталей і присадний метал, а також підтримується висока температура розплаву. Цей вид зварювання відкривав великі можливості у виробництві важкого металургійного, ковальсько-пресового і іншого устаткування. Перед розробниками методів та засобів неруйнівного контролю постала нова задача – випробування зварних швів великої товщини



25 квітня 1990 р. виведений на орбіту шатлом «Діскавері» STS-31 орбітальний телескоп Хаббл. На сьогоднішній день це одне з найсучасніших обладнань для дослідження в космосі. Для створення цього складного апарату застосовували ряд зварювальних технологій. При виготовленні спеціальних легких пористих дзеркал використовувалася лазерне зварювання. Виготовлення космічних апаратів завжди супроводжується величким об’ємом випробувальних та контрольних операцій, особливо коли мова йде про апарати багаторазового використання



27 квітня 1967 р. відкрилася Всесвітня виставка EXPO-67, символом якої стала Монреальська біосфера. Побудована як павільйон американської експозиції, біосфера стала згодом одним із символів міста Монреаль. Конструкція має вигляд великої кулі, який складається з безлічі з’єднаних зварюванням між собою частин. Кожна з них виглядає як спеціальне молекулярне з’єднання, що належить до особливого класу так званих аллотропних форм вуглецю. У травні 1976 р. в ході ремонтних зварювальних робіт купол біосфери загорівся. Детальне технічне обстеження, дефектоскопія та розрахунки підтвердили можливість подальшої експлуатації цієї цікавої інженерної споруди

1 травня 1931 р. на Манеттені відкрито Емпайр-Стейт-Білдинг, що залишався найвищим хмарочосом світу протягом 42 років. Хмарочос висотою 381 м (448 м з антеною), що має 102 поверхні, зведений у стилі ардеко і став першою будівлею у світі, яка мала понад 100 поверхнів. У 1986 р. Емпайр-Стейт-Білдинг увійшов до списку пам'яток архітектури національного значення США. У 2007 р. будівля під номером один увійшла до списку найкращих американських архітектурних рішень за версією Американського інституту архітекторів. У 1972 р. північна вежа Всесвітнього торгового центру обігнала Емпайр-Стейт-Білдинг за висотою і стала найвищою будівлею у світі. Після руйнування веж Всесвітнього торгового центру в результаті терористичного акту 11.09.2001 р. Емпайр-Стейт-Білдинг став найвищою будівлею Нью-Йорку



6 травня 1994 р. відкрито Євротунель під Ла-Маншем між Францією та Британією – одну з найбільших будівель 20-го століття і символ об'єднаної Європи. Тунель має довжину близько 51 км, з них 39 км – безпосередньо під дном моря. Ідея сталого сполучення через протоку існували ще з 1802 р. У спорудженні двох транспортних та одного сервісного тунелів було задіяно 11 прохідницьких щитів. Тунелем курсують пасажирські потяги Євростар, побудовані на основі французьких TGV, та човникові потяги для перевезення вантажу; тунель має власний парк сервісних машин. Термінали для авто знаходяться в Черітоні та Ко-куель, та мають сполучення з британськими та французькими автострадами. Американське товариство цивільних інженерів оголосило Євротунель одним з семи чудес сучасності



7 травня 1950 р. під керівництвом Євгена Оскаровича Патона закінчено проектування конструкції і розробку технології будівництва найбільшого в Європі суцільнозварного моста через р. Дніпро в Києві (нині – міст ім. Є. О. Патона). Міст довжиною 1543 м і ширину 27 м балочної конструкції з суцільними головними балками двотаврового перерізу довжиною 58 м і висотою 3,6 м введено в експлуатацію 1.11.1953 р. У 2020 р. фахівці ІЕЗ ім. Є.О. Патона виконали технічне обстеження несучих зварних металоконструкцій мосту. Результати обстеження передані інституту «Укрпроектсталконструкція», який є головним розробником проекту ремонту мосту



19 травня 1743 р. ліонський фізик Жан-П'єр Кристен (1683–1755 рр.) представив проект першого ртутного термометра, який використовував шкалу Цельсія. Його пропозиція в 1743 р. змінила шкалу термометра Цельсія (від кипіння води при 0 градусів та танення льоду при 100 градусах, де нуль позначає точку замерзання води, а 100 – точку кипіння води) було широко прийнято і використовується досі. Перші термометри, що використовувалися у Франції, були виготовлені за показаннями Рене Антуана де Реомюра, який в 1730 р. створив спиртовий термометр і завдав градування, розділену на 80 частин між температурою плавлення води 0° і температурою кипіння 80°

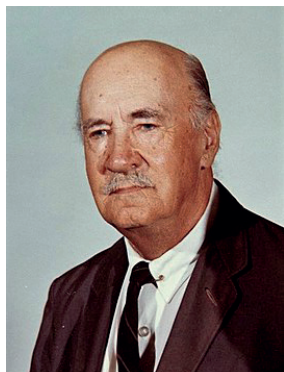


23 травня 1910 р. у Києві на Сирецькому іподромі відбувся перший політ вітчизняного літака конструкції професора Політехнічного інституту Олександра Кудашева (1872–1917 рр.). Це був формений біплан із тягучим гвинтом, вагою 320 кілограмів, оснащений двигуном «Ансані» потужністю 35 к.с. Він мав переднє кермо висоти, кермо керування і хвостове оперення-стабілізатор. Каркас літака із площею несучих поверхонь 32 кв. м був зроблений із дерев'яних рейок і обтягнутий прогумованим полотном. Політ був недовгим – на кілька десятків метрів, але першим у Російській імперії польотом літака вітчизняного виробництва (за винятком двигуна)



23 травня 1931 р. народився проф. Петро Васильович Балабуєв (помер у 2007 р.) – український авіаконструктор, Герой України, д.т.н. З 1954 р. після закінчення Харківського авіаційного інституту він працює на АНТК ім. О.К. Антонова. У 1965 р. його було призначено першим директором Київського механічного заводу, а з 1968 р. він став Головним конструктором під час створення важкого літака для перевезень великовагітних вантажів Ан-124 «Руслан». За його участю та під його керівництвом побудовано літаки: Ан-22 «Антей», Ан-72, Ан-74, Ан-32, Ан-28, Ан-124 «Руслан», Ан-225 «Мрія», Ан-38, Ан-140, Ан-70





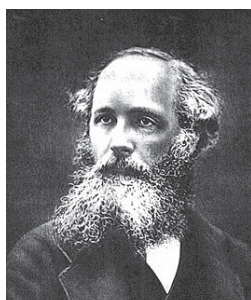
25 травня 1889 р. в Києві народився Ігор Іванович Сікорський (помер у 1972 р.) – видатний авіаконструктор українського походження, що працював у Російській імперії та Сполучених Штатах. У 1908–1912 рр., навчаючись у Київському політехнічному інституті, спроектував і побудував 6 моделей гелікоптерів та літаків-біпланів. Пізніше в Санкт-Петербурзі під його керівництвом були побудовані одні з перших у світі багатомоторні літаки «Гранд» (1913 р.) та «Ілля Муромець» (1914 р.). У 1918 р. емігрував до Французької Республіки, а в 1919 р. переїхав до США. У 1923 р. він заснував авіаційну фірму «Sikorsky Aircraft». У 1925–1940 рр. розробив серію надзвичайно успішних літаків, які принесли США престиж та рекорди. Наприклад, побудований в 1934 р. гідроплан Sikorsky S-42 встановив десять світових рекордів, а 10 серійних S-42 стали першими у світі міжkontинентальними пасажирськими лайнераами, які забезпечили регулярні рейси через Атлантичний і Тихий океани. З 1939 р. перейшов на конструктування гелікоптерів одногвинтової схеми



26 травня 1901 р. народився Борис Павлович Грабовський (помер у 1966 р.) – український винахідник, що запатентував, реалізував на практиці, продемонстрував електронну систему телебачення, за допомогою якої вперше в світі здійснив безпровідну передачу на відстань рухомого зображення. У 1925 р. Б. Грабовський у співавторстві зі своїми однодумцями М. Піскуновим та В. Поповим подали документи на патентування повністю електронного ТБ (патент № 5592 отримали 30.06.1928 р.). У 1928 р. в Ташкенті відбулась публічна демонстрація ТБ та приймання науковою комісією. На зеленому екрані приймальної трубки діаметром 20 см спостерігали пішоходів, трамвай, що перетинав площину, та обличчя людини. Зображення було стійким та чітким. Безпровідна передача рухомих зображень здійснювалась на відстані десятків метрів



13 червня 1773 р. народився Томас Юнг (помер у 1829 р.) – англійський вчений широкого профілю: фізик (один із засновників хвильової теорії світла), механік, лікар (першим описав явище астигматизму), ботанік, астроном, філолог і сходознавець. Поліглот – розмовляв 13-ма мовами. Відомий своїми дослідженнями в галузях механіки суцільних середовищ та оптики. Пояснив акомодацію ока, першим описав астигматизм, заклав основи теорії капілярних явищ. За обсяг інтересів і фундаментальність наукового вкладу колеги характеризували Юнга як «останню людину, що знала все»



13 червня 1831 р. народився Джеймс Максвелл (помер у 1879 р.) – шотландський вчений, який створив теорію електромагнітного поля і на її підставі зробив висновок, що змінні електричне і магнітне поля тісно пов’язані одно з одним, утворюючи єдине електромагнітне поле, яке поширюється у вигляді електромагнітних хвиль зі швидкістю світла. Ґрунтуючись на зв’язку електричних, магнітних та світлових явищ, Максвелл розробив теорію світла і тим об’єднав в одне ціле раніше розрізнені галузі електрики, магнетизму і оптики. Крім цього, Максвеллу належать відкриття і в інших галузях фізики, зокрема, молекулярної кінетичної теорії газів (максвеллівський розподіл молекул за швидкостями), законів дифузії, теплопровідності, внутрішнього тертя, статистичної природи другого закону термодинаміки («демон Максвелла»)



19 червня 1623 р. народився Блез Паскаль (помер у 1662 р.) – французький філософ, письменник, фізик, математик. Один із засновників математичного аналізу, теорії ймовірності та проективної геометрії, творець перших зразків лічильної техніки, автор основного закону гідростатики. Відомий також винаходом гіdraulічного преса, шприца та іншими відкриттями. Закон Паскаля (основне рівняння гідростатики) — тиск на рідину в стані теплової рівноваги передається в усіх напрямках однаково. На основі гідростатичного закону Паскаля працюють різноманітні гіdraulічні пристрой: гальмівні системи, гіdraulічні преси тощо. Згодом Паскаль зосередився на доведенні того, що стовпчик ртуті в скляній трубці утримується тиском повітря. Він також підтвердив припущення Торрічеллі про існування атмосферного тиску. На честь Паскаля названа одиниця вимірювання тиску (Паскаль), а також популярна мова програмування Pascal